

Progettazione per il Restauro – Lez 9



Lorenzo Appolonia

Direzione ricerca e progetti cofinanziati

Piazza Narbonne, 3

I-11100 Aosta

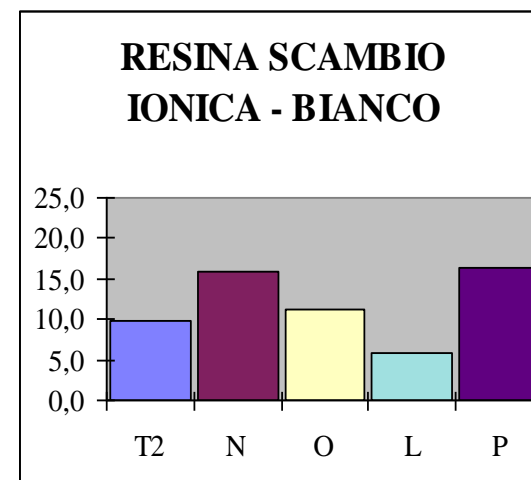
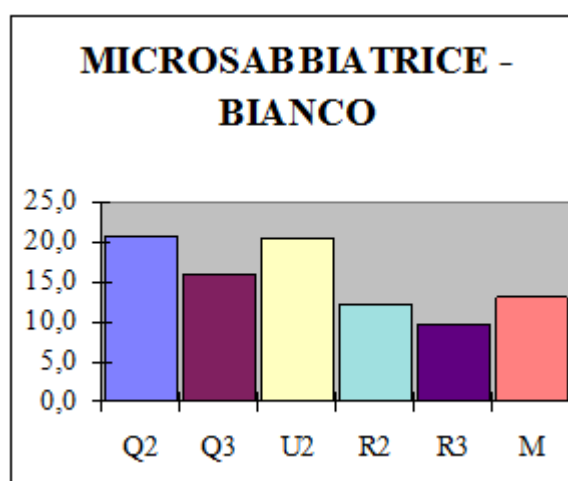
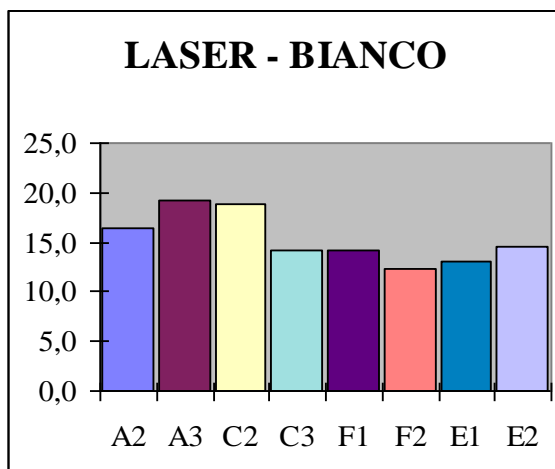
349 29 34 004

mail: lorenzo.appolonia@unito.it

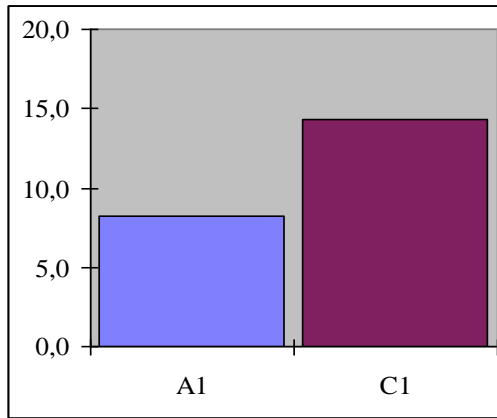
Skype: [lorenzo.appolonia](https://www.skype.com/people/lorenzo.appolonia)

La misura del colore prima e dopo la pulitura - il ΔE

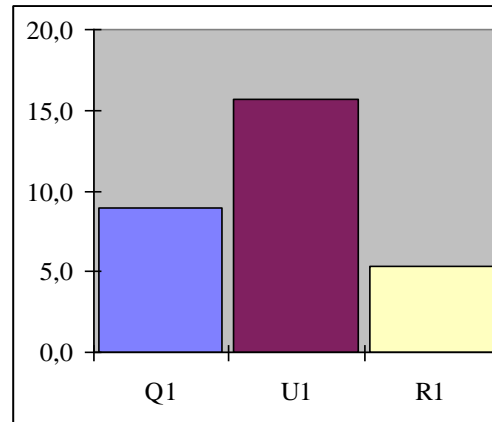
$$\Delta E = \sqrt{(L_2 - L_1)^2 + (a_2 - a_1)^2 + (b_2 - b_1)^2}$$



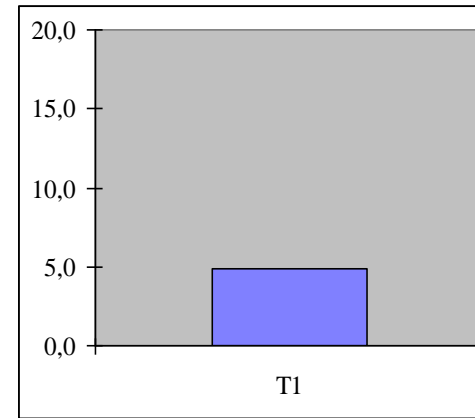
ΔE sul rosso



laser

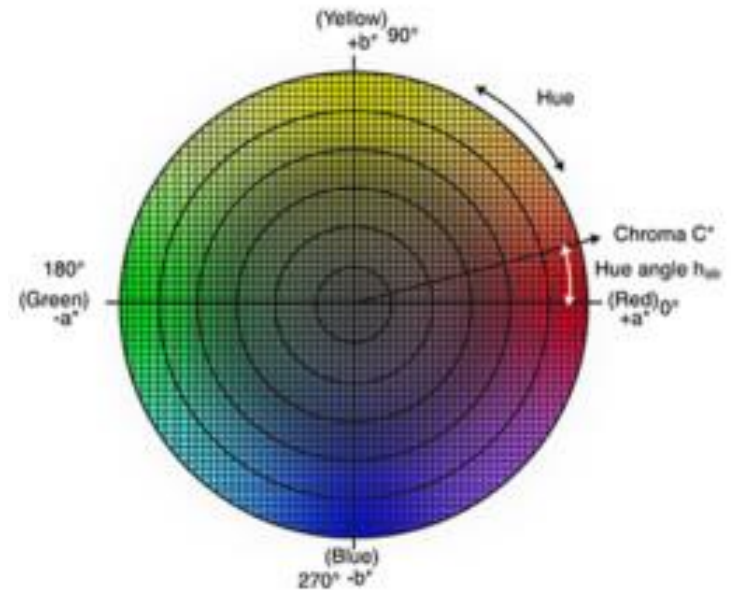
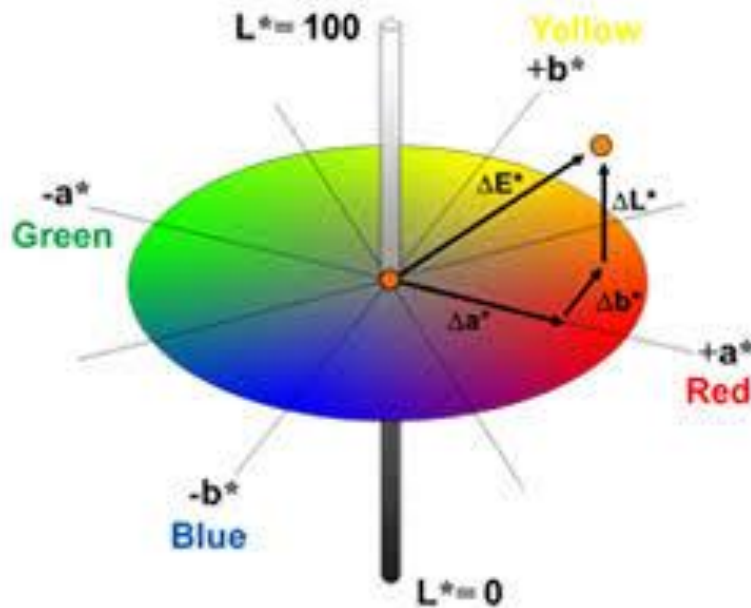


microsabbiat.



resine

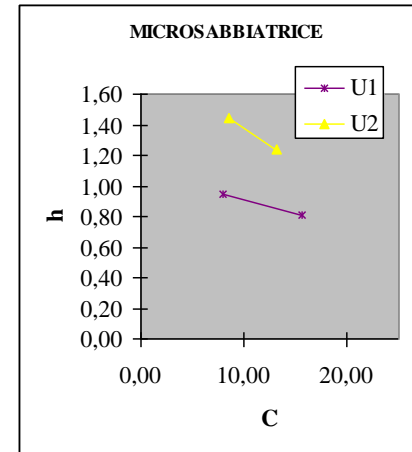
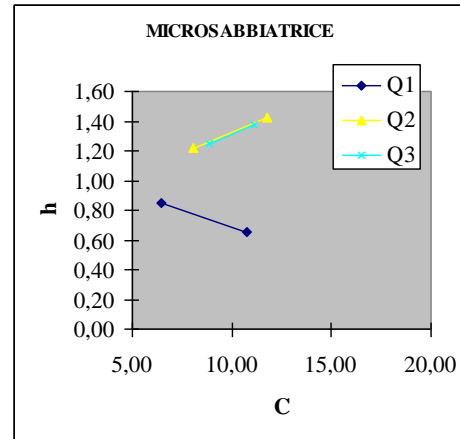
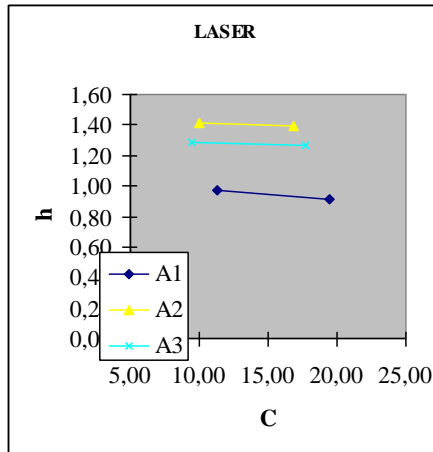
Ma è il solo modo per valutare?



$$h_{ab} = \arctan[b^*/a^*]$$

$$C^*_{ab} = [a^{*2} + b^{*2}]^{1/2}$$

C* h° su bianco e rosso



L'aspetto



Alcuni esempi



laser

micros

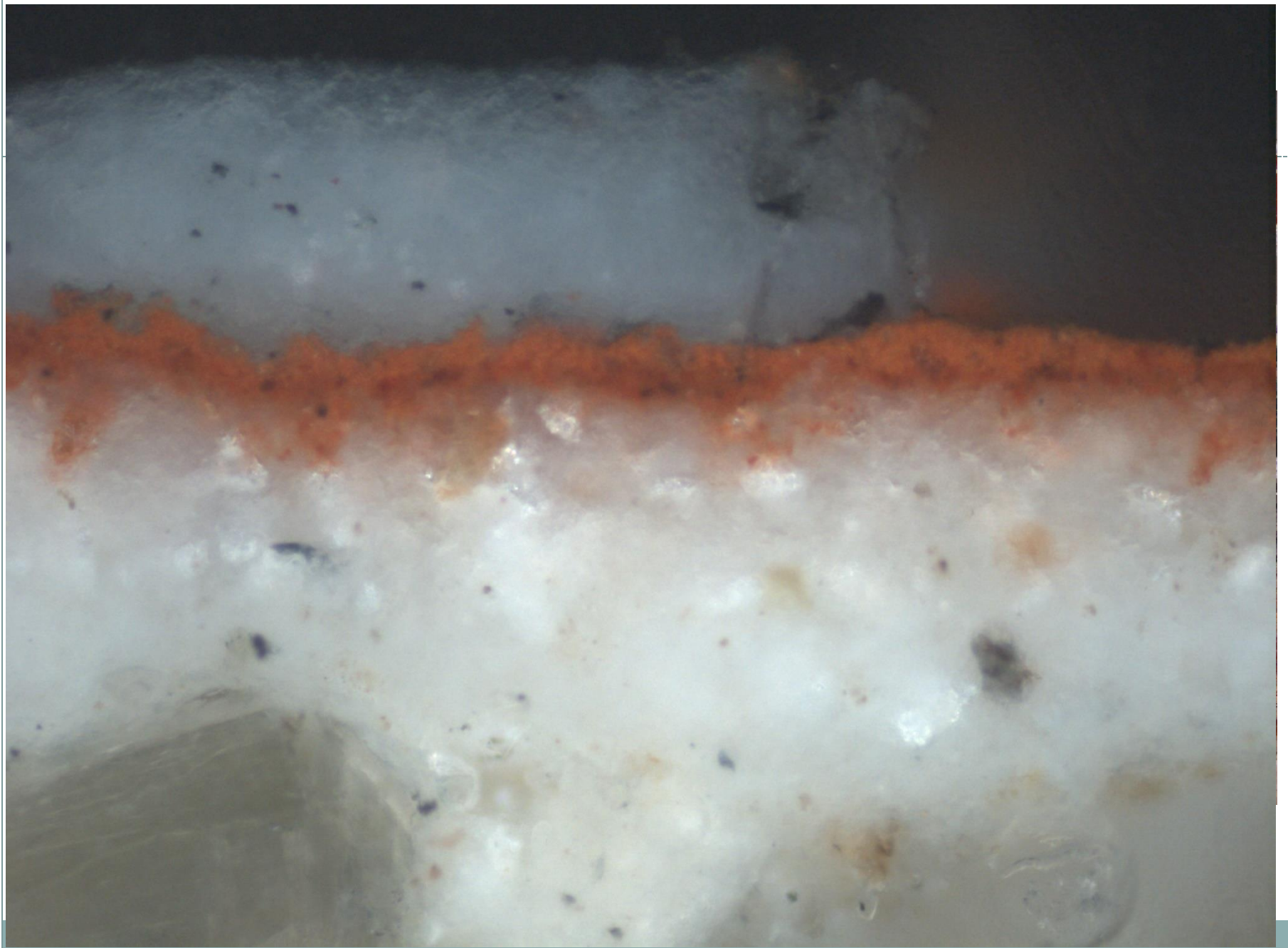
resine

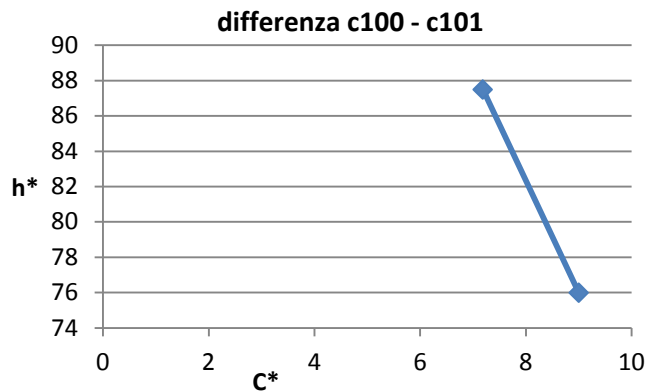
Il lavoro ultimato



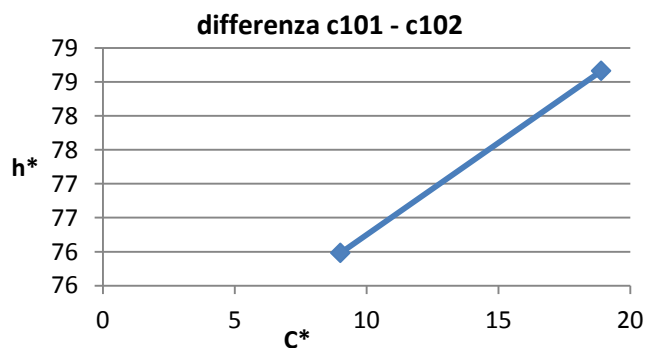
La ricostruzione ipotetica



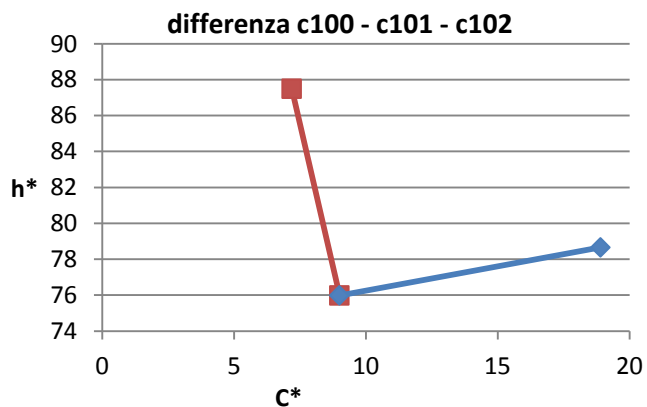




ripresa microscopica
del tassello AAK c100
scialbo



ripresa microscopica del
tassello AAK c101
prima pulitura laser SFR



ripresa microscopica
del tassello AAK c102
seconda pulitura laser
LQS

RAPPRESENTAZIONE DELLE DUE AZIONI DI PULITURA NELLO SPAZIO CIELCH DALLA QUALE SI EVINCE LA GRANDE VARIAZIONE DALLO SGROSSAMENTO DELLA PRIMA PULITURA (SEGMENTO ROSSO) ALL'ARRICCHIMENTO DI SATURAZIONE DELLA FINITURA (SEGMENTO AZZURRO)

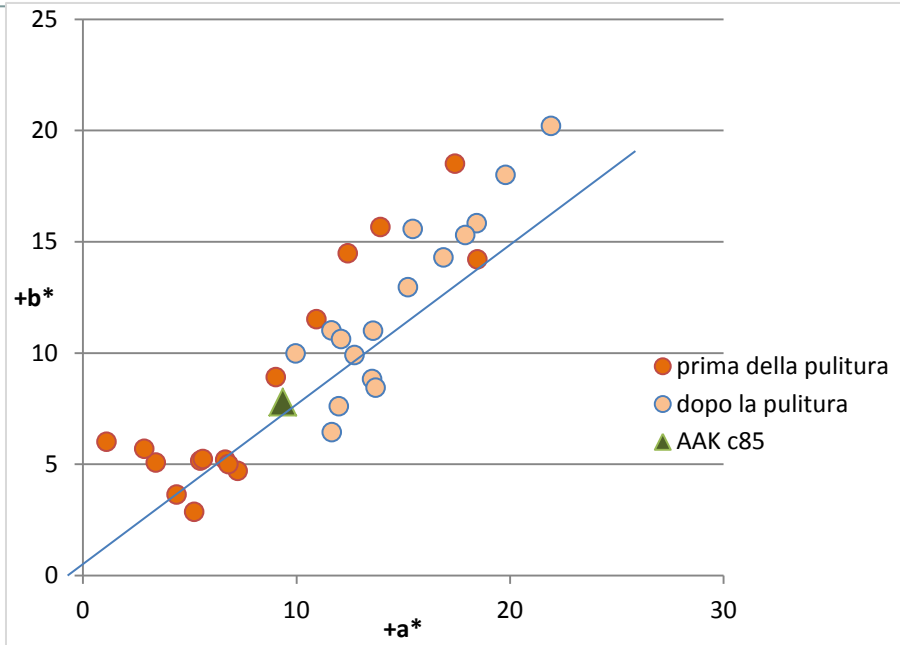


grafico a dispersione relativo allo spostamento delle coordinate a^* e b^* dei tasselli sul rosso all'interno dello spazio colorimetrico CIELAB

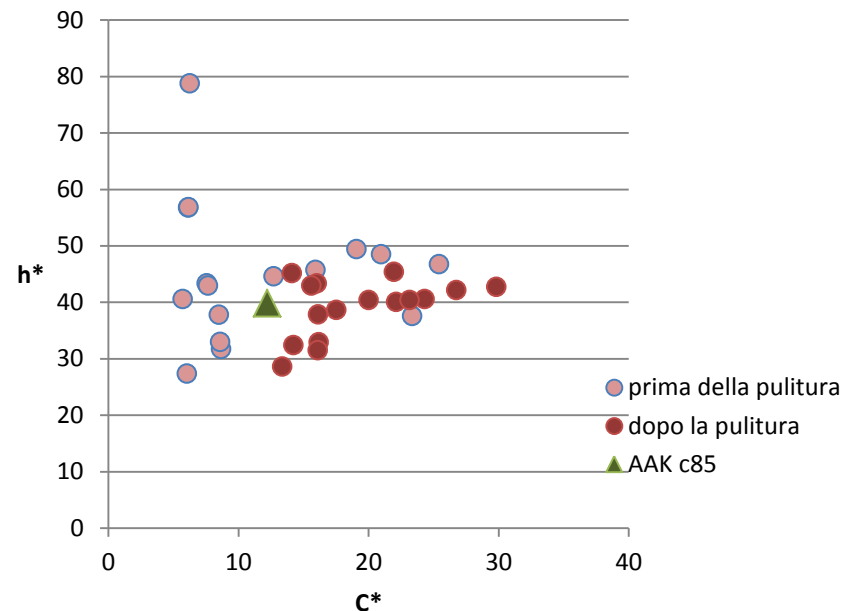


grafico a dispersione relativo allo spostamento delle coordinate C^* e h^* dei tasselli sul rosso all'interno dello spazio colorimetrico CIELCH

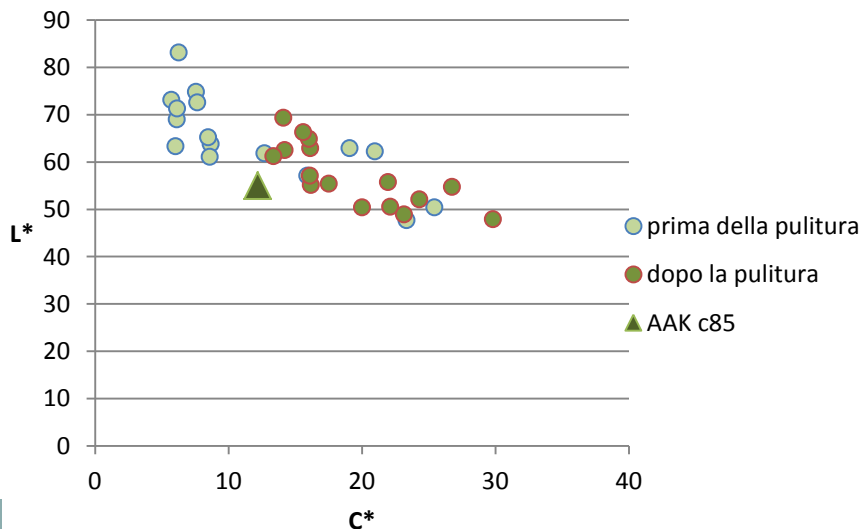


grafico a dispersione relativo allo spostamento delle coordinate C^* ed L^* dei tasselli sul rosso all'interno dello spazio colorimetrico CIELCH

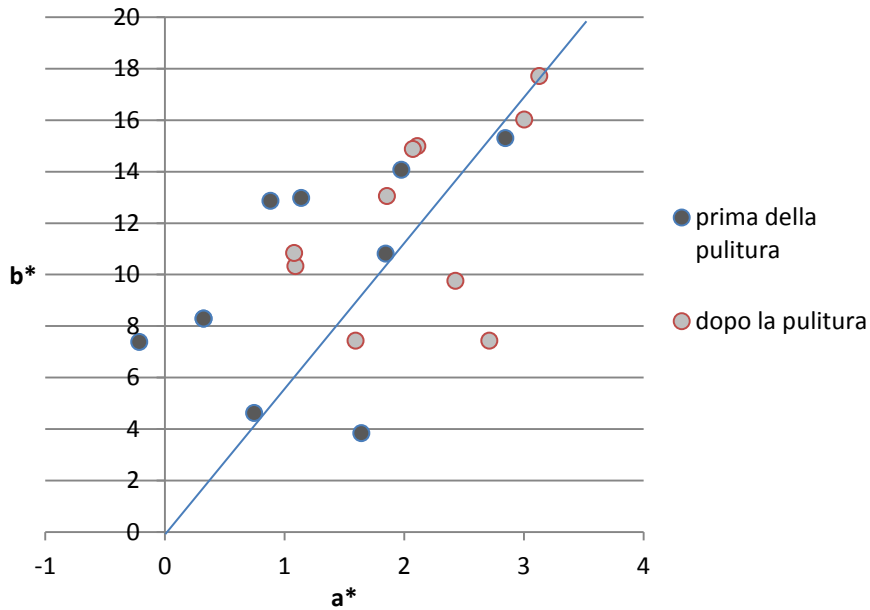


grafico a dispersione relativo allo spostamento delle coordinate a^* e b^* dei tasselli sul bianco all'interno dello spazio colorimetrico CIELAB

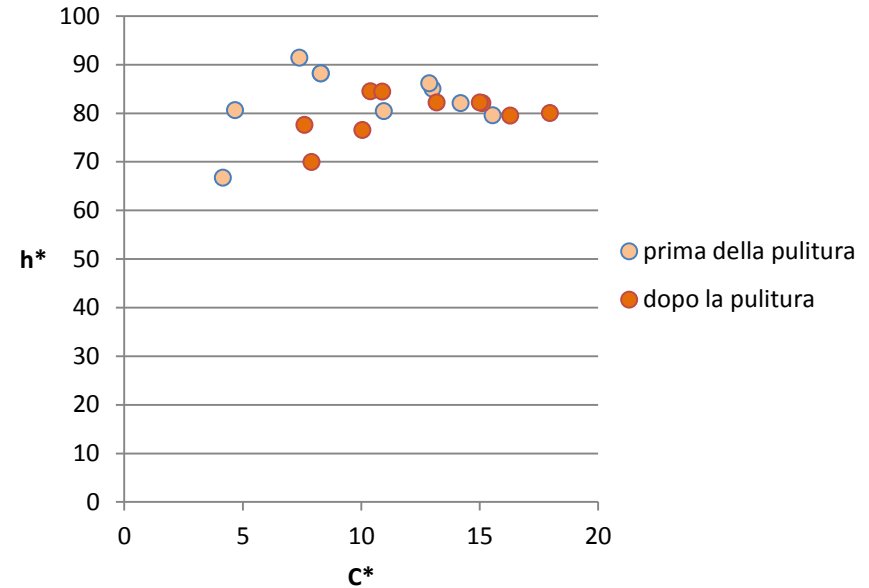


grafico a dispersione relativo allo spostamento delle coordinate c^* e h^* dei tasselli sul bianco all'interno dello spazio colorimetrico CIELCH

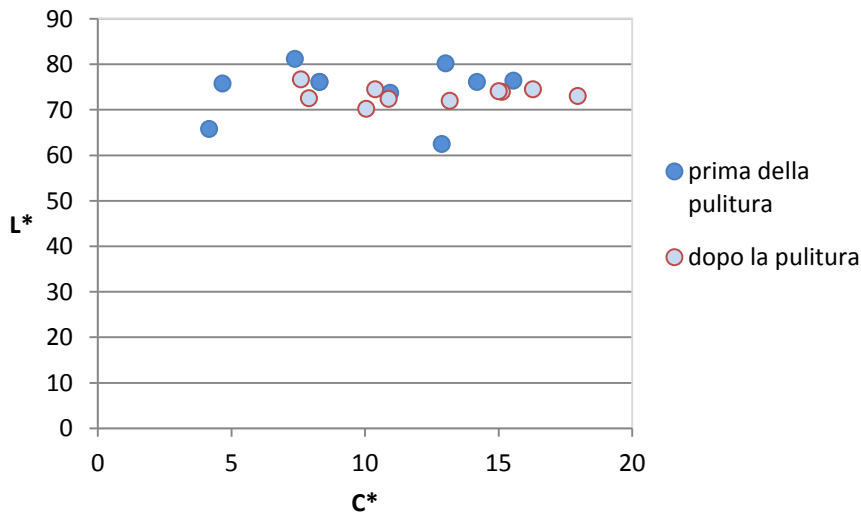


grafico a dispersione relativo allo spostamento delle coordinate c^* ed L^* dei tasselli sul bianco all'interno dello spazio colorimetrico CIELCH

Vediamo come faremmo e facciamo – PFP4





Lato A



Lato C



Lato B



Lato D



Costruzioni di F. Garelli			
 CENTRO CONSERVAZIONE RESTAURIC L'ARENARIA REALE	PFP 4 Giorgia Camoletto, Chiara Carcano, Valeria Gugliemini, Carla Lc Zito, Gloria Menent	STATO DI FATTO Documentazione fotografica dei punti di vernice gialla	TAVOLA 3F Particolari



PFP3





PFP2



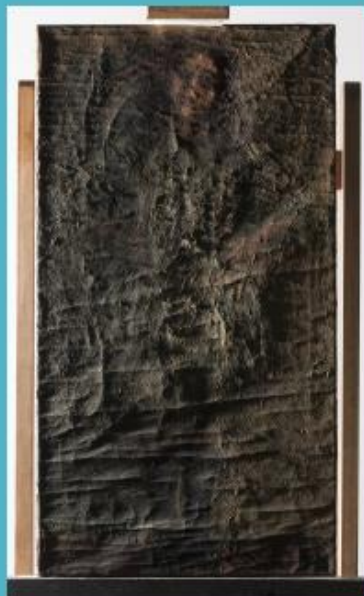
Ritratto di Eda Doris
Venanzio Zolla
1915

Olio su tela
con cornice: 116,5 x 70,5 x 5 cm



Osservazione luce visibile

- Pellicola pittorica materica stesa a spatola
- Crettature
- Ondulazione della tela
- Lacune di pellicola pittorica da cui si vede forse un dipinto sottostante



Luce radente
Mostra deformazioni
della tela



Fluorescenza UV
Presenza di una vernice



IR



IR falso colore
Risposta dei pigmenti

ANALISI conoscitive



Analisi XRF

Identifica la composizione
dei pigmenti

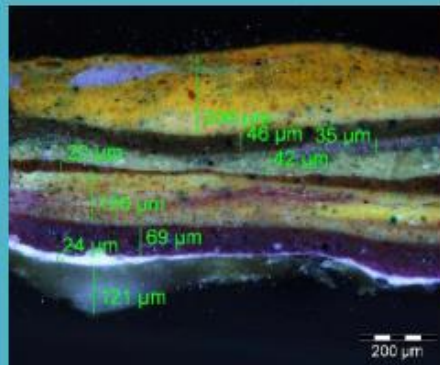


Figura 11. *Ritratto di Eda Doris*. Campione prelevato dal fondo in prossimità del bordo all'altezza della spalla.

Stratigrafia

Mostra la sovrapposizione temporale
degli strati

ANALISI conoscitive



Radiografia

Conferma la presenza di
un dipinto sottostante

PFP1

